

# 远程火箭飞行轨迹设计实验

Pauline

## 一、实验目的

通过建立远程火箭空间运动方程和完成计算机仿真，掌握远程火箭主动段受力分析、飞行动力学建模分析、飞行特性分析和数值求解方法。

## 二、实验原理

### 2.1 受力分析

#### 1. 静推力

$$P_{st} = S_e (p_e - p_H)$$

#### 2. 气动力

$$\mathbf{R} = \begin{bmatrix} -X \\ Y \\ Z \end{bmatrix}$$
$$\begin{cases} X = C_x q S_M \\ Y = C_y q S_M \\ Z = C_z q S_M \end{cases}$$

#### 3. 气动力矩

##### (1) 稳定力矩

---


$$\boldsymbol{M}_{\text{st}} = \boldsymbol{R} \times (\boldsymbol{x}_{\text{p}} - \boldsymbol{x}_{\text{g}}) \hat{\boldsymbol{x}}_1 = M_{y_1 \text{st}} \hat{\boldsymbol{y}}_1 + M_{z_1 \text{st}} \hat{\boldsymbol{z}}_1$$

$$\begin{cases} M_{y_1 \text{st}} = m_{y_1}^{\beta} q S_{\text{M}} l_{\text{K}} \beta \\ M_{z_1 \text{st}} = m_{z_1}^{\alpha} q S_{\text{M}} l_{\text{K}} \alpha \\ m_{y_1}^{\beta} = m_{z_1}^{\alpha} = C_{y_1}^{\alpha} (\bar{x}_{\text{g}} - \bar{x}_{\text{p}}) \end{cases}$$

(2) 阻尼力矩

$$\boldsymbol{M}_{\text{d}} = \begin{bmatrix} M_{x_1 \text{d}} \\ M_{y_1 \text{d}} \\ M_{z_1 \text{d}} \end{bmatrix}$$

$$\begin{cases} M_{x_1 \text{d}} = m_{x_1}^{\bar{\omega}_{x_1}} q S_{\text{M}} l_{\text{K}} \bar{\omega}_{x_1} \\ M_{y_1 \text{d}} = m_{y_1}^{\bar{\omega}_{y_1}} q S_{\text{M}} l_{\text{K}} \bar{\omega}_{y_1} \\ M_{z_1 \text{d}} = m_{z_1}^{\bar{\omega}_{z_1}} q S_{\text{M}} l_{\text{K}} \bar{\omega}_{z_1} \end{cases}$$

4. 控制力

$$\boldsymbol{F}_{\text{c}} = \begin{bmatrix} -X_{1\text{c}} \\ Y_{1\text{c}} \\ Z_{1\text{c}} \end{bmatrix}$$

5. 控制力矩

$$\boldsymbol{M}_{\text{c}} = \begin{bmatrix} M_{x_1 \text{c}} \\ M_{y_1 \text{c}} \\ M_{z_1 \text{c}} \end{bmatrix}$$

6. 引力

$$\begin{aligned} m\boldsymbol{g} &= m\boldsymbol{g}'_{\text{r}} + m\boldsymbol{g}_{\omega\text{e}}\hat{\boldsymbol{\omega}}_{\text{e}} \\ \begin{cases} g'_{\text{r}} = -\frac{fM}{r^2} \left[ 1 + J \left( \frac{a_{\text{e}}}{r} \right)^2 (1 - 5 \sin^2 \phi) \right] \\ g_{\omega\text{e}} = -2 \frac{fM}{r^2} J \left( \frac{a_{\text{e}}}{r} \right)^2 \sin \phi \end{cases} \end{aligned}$$

---

## 7. 附加相对力及附加哥氏力

$$\begin{aligned} \mathbf{F}'_{\text{rel}} &= -\int_m \frac{\delta^2 \boldsymbol{\rho}}{\delta t^2} dm = -\dot{m} \mathbf{u}_e \\ \mathbf{F}'_k &= -2\boldsymbol{\omega}_T \times \int_m \frac{\delta \boldsymbol{\rho}}{\delta t} dm = -2\dot{m} \boldsymbol{\omega}_T \times \boldsymbol{\rho}_e \end{aligned}$$

## 8. 附加相对力矩及附加哥氏力矩

$$\begin{aligned} \mathbf{M}'_{\text{rel}} &= -\int_m \boldsymbol{\rho} \times \frac{\delta^2 \boldsymbol{\rho}}{\delta t^2} dm = -\dot{m} \boldsymbol{\rho}_e \times \mathbf{u}_e \\ \mathbf{M}'_k &= -2 \int_m \boldsymbol{\rho} \times \left( \boldsymbol{\omega}_T \times \frac{\delta \boldsymbol{\rho}}{\delta t} \right) dm = -\frac{\delta \mathbf{I}}{\delta t} \cdot \boldsymbol{\omega}_T - \dot{m} \boldsymbol{\rho}_e \times (\boldsymbol{\omega}_T \times \boldsymbol{\rho}_e) \end{aligned}$$

## 2.2 矢量形式的动力学方程

### 1. 惯性坐标系中的变质量质点系质心动力学方程

$$m \frac{d^2 \mathbf{r}_{\text{c.m.}}}{dt^2} = \mathbf{F}_S + \mathbf{F}'_k + \mathbf{F}'_{\text{rel}}$$

### 2. 变质量质点系的绕质心转动的动力学方程

$$\mathbf{I} \cdot \frac{d\boldsymbol{\omega}_T}{dt} + \boldsymbol{\omega}_T \times (\mathbf{I} \cdot \boldsymbol{\omega}_T) = \mathbf{M}_{\text{c.m.}} + \mathbf{M}'_k + \mathbf{M}'_{\text{rel}}$$

其中

$$\mathbf{I} = \begin{bmatrix} I_{xx} & -I_{xy} & -I_{xz} \\ -I_{yx} & I_{yy} & -I_{yz} \\ -I_{zx} & -I_{zy} & I_{zz} \end{bmatrix}$$

### 2.3.1 地面发射坐标系中的质心动力学方程

地面发射坐标系以一角速度  $\boldsymbol{\omega}_e$  转动，有

$$m \frac{\delta^2 \mathbf{r}}{\delta t^2} = \mathbf{P} + \mathbf{R} + \mathbf{F}_c + m\mathbf{g} + \mathbf{F}'_k - m\boldsymbol{\omega}_e \times (\boldsymbol{\omega}_e \times \mathbf{r}) - 2m\boldsymbol{\omega}_e \times \frac{\delta \mathbf{r}}{\delta t}$$

下面将方程的每一项在地面发射坐标系中进行分解。

## 1. 相对加速度

$$\frac{\delta^2 \mathbf{r}}{\delta t^2} = \begin{bmatrix} \frac{dv_x}{dt} \\ \frac{dv_y}{dt} \\ \frac{dv_z}{dt} \end{bmatrix}$$

## 2. 推力

一台发动机的推力通常为附加相对力和静推力之和，其在本体坐标系内的形式为

$$\mathbf{P} = \begin{bmatrix} -\dot{m}u_e + S_e(p_e - p_H) \\ 0 \\ 0 \end{bmatrix} = \begin{bmatrix} P \\ 0 \\ 0 \end{bmatrix}$$

在地面发射坐标系中

$$\begin{bmatrix} P_x \\ P_y \\ P_z \end{bmatrix} = \mathbf{G}_B \begin{bmatrix} P \\ 0 \\ 0 \end{bmatrix}$$

## 3. 气动力

气动力在速度坐标系内的形式为

$$\mathbf{R} = \begin{bmatrix} -X \\ Y \\ Z \end{bmatrix}$$

在地面发射坐标系中

$$\begin{bmatrix} R_x \\ R_y \\ R_z \end{bmatrix} = \mathbf{G}_V \begin{bmatrix} -X \\ Y \\ Z \end{bmatrix} = \mathbf{G}_V \begin{bmatrix} -C_x q S_M \\ C_y^\alpha q S_M \alpha \\ -C_y^\alpha q S_M \beta \end{bmatrix}$$

---

## 4. 控制力

控制力在本地坐标系内的形式为

$$\mathbf{F}_c = \begin{bmatrix} -X_{lc} \\ Y_{lc} \\ Z_{lc} \end{bmatrix}$$

在地面发射坐标系中

$$\begin{bmatrix} F_{cx} \\ F_{cy} \\ F_{cz} \end{bmatrix} = \mathbf{G}_B \begin{bmatrix} -X_{lc} \\ Y_{lc} \\ Z_{lc} \end{bmatrix}$$

## 5. 引力

在地面发射坐标系中

$$\hat{\mathbf{r}} = \frac{1}{r} \begin{bmatrix} x + R_{0x} \\ y + R_{0y} \\ z + R_{0z} \end{bmatrix}$$

$$\hat{\boldsymbol{\omega}}_e = \frac{1}{\omega_e} \begin{bmatrix} \omega_{ex} \\ \omega_{ey} \\ \omega_{ez} \end{bmatrix}$$

$$\left\{ \begin{array}{l} \begin{bmatrix} R_{0x} \\ R_{0y} \\ R_{0z} \end{bmatrix} = \begin{bmatrix} -R_0 \sin \mu_0 \cos A_0 \\ R_0 \cos \mu_0 \\ R_0 \sin \mu_0 \sin A_0 \end{bmatrix} \\ R_0 = \frac{a_e b_e}{\sqrt{a_e^2 \sin^2 \phi_0 + b_e^2 \cos^2 \phi_0}} \\ \mu_0 = B_0 - \phi_0 \\ \begin{bmatrix} \omega_{ex} \\ \omega_{ey} \\ \omega_{ez} \end{bmatrix} = \omega_e \begin{bmatrix} \cos B_0 \cos A_0 \\ \sin B_0 \\ -\cos B_0 \sin A_0 \end{bmatrix} \end{array} \right.$$

则

$$m\mathbf{g} = m \frac{\mathbf{g}'_r}{r} \begin{bmatrix} x + R_{0x} \\ y + R_{0y} \\ z + R_{0z} \end{bmatrix} + m \frac{\mathbf{g}_{\omega e}}{\omega_e} \begin{bmatrix} \omega_{ex} \\ \omega_{ey} \\ \omega_{ez} \end{bmatrix}$$

---

## 6. 附加哥氏力

附加哥氏力在本地坐标系内的形式为

$$\mathbf{F}'_k = \begin{bmatrix} F'_{kx_1} \\ F'_{ky_1} \\ F'_{kz_1} \end{bmatrix} = 2\dot{m}x_{1e} \begin{bmatrix} 0 \\ \omega_{Tz_1} \\ -\omega_{Ty_1} \end{bmatrix}$$

在地面发射坐标系中

$$\begin{bmatrix} F'_{kx} \\ F'_{ky} \\ F'_{kz} \end{bmatrix} = \mathbf{G}_B \begin{bmatrix} F'_{kx_1} \\ F'_{ky_1} \\ F'_{kz_1} \end{bmatrix}$$

## 7. 离心惯性力

记牵连加速度为

$$\mathbf{a}_e = \boldsymbol{\omega}_e \times (\boldsymbol{\omega}_e \times \mathbf{r})$$

在地面发射坐标系中

$$\begin{bmatrix} a_{ex} \\ a_{ey} \\ a_{ez} \end{bmatrix} = \begin{bmatrix} a_{11} & a_{12} & a_{13} \\ a_{21} & a_{22} & a_{23} \\ a_{31} & a_{32} & a_{33} \end{bmatrix} \begin{bmatrix} x + R_{0x} \\ y + R_{0y} \\ z + R_{0z} \end{bmatrix}$$
$$\left\{ \begin{array}{l} a_{11} = \omega_{ex}^2 - \omega_e^2 \\ a_{12} = a_{21} = \omega_{ex} \omega_{ey} \\ a_{13} = a_{31} = \omega_{ez} \omega_{ex} \\ a_{22} = \omega_{ey}^2 - \omega_e^2 \\ a_{23} = a_{32} = \omega_{ey} \omega_{ez} \\ a_{33} = \omega_{ez}^2 - \omega_e^2 \end{array} \right.$$

则

$$\begin{bmatrix} F_{ex} \\ F_{ey} \\ F_{ez} \end{bmatrix} = -m \begin{bmatrix} a_{ex} \\ a_{ey} \\ a_{ez} \end{bmatrix}$$

## 8. 哥氏惯性力

记哥氏加速度为

$$\mathbf{a}_k = 2\boldsymbol{\omega}_e \times \frac{\delta \mathbf{r}}{\delta t}$$

在地面发射坐标系中

$$\begin{bmatrix} a_{kx} \\ a_{ky} \\ a_{kz} \end{bmatrix} = \begin{bmatrix} b_{11} & b_{12} & b_{13} \\ b_{21} & b_{22} & b_{23} \\ b_{31} & b_{32} & b_{33} \end{bmatrix} \begin{bmatrix} \dot{x} \\ \dot{y} \\ \dot{z} \end{bmatrix}$$

$$\begin{cases} b_{11} = b_{22} = b_{33} = 0 \\ b_{12} = -b_{21} = -2\omega_{ez} \\ b_{13} = -b_{31} = -2\omega_{ey} \\ b_{23} = -b_{32} = -2\omega_{ex} \end{cases}$$

则

$$\begin{bmatrix} F_{kx} \\ F_{ky} \\ F_{kz} \end{bmatrix} = -m \begin{bmatrix} a_{kx} \\ a_{ky} \\ a_{kz} \end{bmatrix}$$

### 2.3.2 本体坐标系中的绕质心转动动力学方程

$$\mathbf{I} \cdot \frac{d\boldsymbol{\omega}_T}{dt} + \boldsymbol{\omega}_T \times (\mathbf{I} \cdot \boldsymbol{\omega}_T) = \mathbf{M}_{st} + \mathbf{M}_c + \mathbf{M}_d + \mathbf{M}'_k + \mathbf{M}'_{rel}$$

$$\mathbf{I} = \begin{bmatrix} I_{x_1} & 0 & 0 \\ 0 & I_{y_1} & 0 \\ 0 & 0 & I_{z_1} \end{bmatrix}$$

#### 1. 气动力矩

(1) 稳定力矩

$$\mathbf{M}_{st} = \begin{bmatrix} 0 \\ M_{y_1st} \\ M_{z_1st} \end{bmatrix} = \begin{bmatrix} 0 \\ m_{y_1}^{\beta} q S_M l_K \beta \\ m_{z_1}^{\alpha} q S_M l_K \alpha \end{bmatrix}$$

(2) 阻尼力矩

$$\mathbf{M}_d = \begin{bmatrix} M_{x_1d} \\ M_{y_1d} \\ M_{z_1d} \end{bmatrix} = \begin{bmatrix} m_{x_1}^{\bar{\omega}_{\eta_1}} q S_M l_K \bar{\omega}_{x_1} \\ m_{y_1}^{\bar{\omega}_{\eta_1}} q S_M l_K \bar{\omega}_{y_1} \\ m_{z_1}^{\bar{\omega}_{\eta_1}} q S_M l_K \bar{\omega}_{z_1} \end{bmatrix}$$

---

## 2. 控制力矩

$$\mathbf{M}_c = \begin{bmatrix} M_{x_1c} \\ M_{y_1c} \\ M_{z_1c} \end{bmatrix}$$

## 3. 附加相对力矩及附加哥氏力矩

在标准条件下，即发动机安装无误差，则附加相对力矩为 0，若控制系统采用摇摆发动机作为执行机构，该附加相对力矩等于控制力矩。此外

$$\mathbf{M}'_k = - \begin{bmatrix} \dot{I}_{x_1} \omega_{Tx_1} \\ \dot{I}_{y_1} \omega_{Ty_1} \\ \dot{I}_{z_1} \omega_{Tz_1} \end{bmatrix} + \dot{m} \begin{bmatrix} 0 \\ -x_{1e}^2 \omega_{Ty_1} \\ -x_{1e}^2 \omega_{Tz_1} \end{bmatrix}$$

### 2.3.3 补充方程

#### 1. 运动学方程

$$\left. \begin{aligned} \begin{bmatrix} \frac{dx}{dt} \\ \frac{dy}{dt} \\ \frac{dz}{dt} \end{bmatrix} &= \begin{bmatrix} v_x \\ v_y \\ v_z \end{bmatrix} \\ \begin{bmatrix} \omega_{Tx_1} \\ \omega_{Ty_1} \\ \omega_{Tz_1} \end{bmatrix} &= \begin{bmatrix} \dot{\gamma}_T - \dot{\phi}_T \sin \psi_T \\ \dot{\psi}_T \cos \gamma_T + \dot{\phi}_T \cos \psi_T \sin \gamma_T \\ \dot{\phi}_T \cos \psi_T \cos \gamma_T - \dot{\psi}_T \sin \gamma_T \end{bmatrix} \\ \begin{bmatrix} \omega_{x_1} \\ \omega_{y_1} \\ \omega_{z_1} \end{bmatrix} &= \begin{bmatrix} \omega_{Tx_1} \\ \omega_{Ty_1} \\ \omega_{Tz_1} \end{bmatrix} - \mathbf{B}_G \begin{bmatrix} \omega_{ex} \\ \omega_{ey} \\ \omega_{ez} \end{bmatrix} \end{aligned} \right\}$$



## 2. 控制方程

$$\left. \begin{aligned} \delta_\varphi &= f_\varphi(x, y, z, \dot{x}, \dot{y}, \dot{z}, \varphi_T, \dot{\varphi}_T, \dots) \\ \delta_\psi &= f_\psi(x, y, z, \dot{x}, \dot{y}, \dot{z}, \psi_T, \dot{\psi}_T, \dots) \\ \delta_\gamma &= f_\gamma(x, y, z, \dot{x}, \dot{y}, \dot{z}, \gamma_T, \dot{\gamma}_T, \dots) \end{aligned} \right\}$$

## 3. 欧拉角的联系方程

$$\left. \begin{aligned} \varphi_T &= \varphi + \omega_{ez}t \\ \psi_T &= \psi + \omega_{ey}t \cos \varphi - \omega_{ex}t \sin \varphi \\ \gamma_T &= \gamma + \omega_{ey}t \sin \varphi + \omega_{ex}t \cos \varphi \\ \theta &= \arctan \frac{v_y}{v_x} \\ \sigma &= -\arcsin \frac{v_z}{v} \\ \sin \beta &= \cos(\theta - \varphi) \cos \sigma \sin \psi \cos \gamma + \sin(\varphi - \theta) \cos \sigma \sin \gamma - \sin \sigma \cos \psi \cos \gamma \\ -\sin \alpha \cos \beta &= \cos(\theta - \varphi) \cos \sigma \sin \psi \sin \gamma + \sin(\theta - \varphi) \cos \sigma \cos \gamma - \sin \sigma \cos \psi \sin \gamma \\ \sin \nu &= \frac{1}{\cos \sigma} (\cos \sigma \cos \psi \sin \gamma - \sin \psi \sin \alpha) \end{aligned} \right\}$$

## 4. 附加方程

$$\left. \begin{aligned} v &= \sqrt{v_x^2 + v_y^2 + v_z^2} \\ m &= m_0 - \dot{m}t \\ r &= \sqrt{(x + R_{0x})^2 + (y + R_{0y})^2 + (z + R_{0z})^2} \\ \sin \phi &= \frac{(x + R_{0x})\omega_{ex} + (y + R_{0y})\omega_{ey} + (z + R_{0z})\omega_{ez}}{r\omega_e} \\ R &= \frac{a_e b_e}{\sqrt{a_e^2 \sin^2 \phi + b_e^2 \cos^2 \phi}} \\ h &= r - R \end{aligned} \right\}$$

### 2.4.1 地面发射坐标系中的弹道方程

经上述分析，可得火箭在地面发射坐标系中的六自由度一般运动方程为

$$\left. \begin{aligned}
& m \begin{bmatrix} \frac{dv_x}{dt} \\ \frac{dv_y}{dt} \\ \frac{dv_z}{dt} \end{bmatrix} = \mathbf{G}_B \begin{bmatrix} P \\ Y_{lc} + 2\dot{m}\omega_{Tz_1} x_{le} \\ Z_{lc} - 2\dot{m}\omega_{Ty_1} x_{le} \end{bmatrix} + \mathbf{G}_V \begin{bmatrix} -C_x qS_M \\ C_y^\alpha qS_M \alpha \\ -C_y^\alpha qS_M \beta \end{bmatrix} + m \frac{g_r'}{r} \begin{bmatrix} x + R_{0x} \\ y + R_{0y} \\ z + R_{0z} \end{bmatrix} + m \frac{g_{\omega e}}{\omega_e} \begin{bmatrix} \omega_{ex} \\ \omega_{ey} \\ \omega_{ez} \end{bmatrix} \\
& -m \begin{bmatrix} a_{11} & a_{12} & a_{13} \\ a_{21} & a_{22} & a_{23} \\ a_{31} & a_{32} & a_{33} \end{bmatrix} \begin{bmatrix} x + R_{0x} \\ y + R_{0y} \\ z + R_{0z} \end{bmatrix} - m \begin{bmatrix} b_{11} & b_{12} & b_{13} \\ b_{21} & b_{22} & b_{23} \\ b_{31} & b_{32} & b_{33} \end{bmatrix} \begin{bmatrix} \dot{x} \\ \dot{y} \\ \dot{z} \end{bmatrix} \\
& \begin{bmatrix} I_{x_1} & 0 & 0 \\ 0 & I_{y_1} & 0 \\ 0 & 0 & I_{z_1} \end{bmatrix} \begin{bmatrix} \frac{d\omega_{Tx_1}}{dt} \\ \frac{d\omega_{Ty_1}}{dt} \\ \frac{d\omega_{Tz_1}}{dt} \end{bmatrix} + \begin{bmatrix} (I_{z_1} - I_{y_1})\omega_{Tz_1}\omega_{Ty_1} \\ (I_{x_1} - I_{z_1})\omega_{Tx_1}\omega_{Tz_1} \\ (I_{y_1} - I_{x_1})\omega_{Ty_1}\omega_{Tx_1} \end{bmatrix} = \begin{bmatrix} 0 \\ m_{y_1}^\beta qS_M l_K \beta \\ m_{z_1}^\alpha qS_M l_K \alpha \end{bmatrix} + \mathbf{M}_c + \begin{bmatrix} m_{x_1}^{\bar{\omega}_{q_1}} qS_M l_K \bar{\omega}_{x_1} \\ m_{y_1}^{\bar{\omega}_{q_1}} qS_M l_K \bar{\omega}_{y_1} \\ m_{z_1}^{\bar{\omega}_{q_1}} qS_M l_K \bar{\omega}_{z_1} \end{bmatrix} \\
& + \mathbf{M}'_{rel} - \begin{bmatrix} \dot{I}_{x_1} \omega_{Tx_1} \\ \dot{I}_{y_1} \omega_{Ty_1} \\ \dot{I}_{y_1} \omega_{Ty_1} \end{bmatrix} + \dot{m} \begin{bmatrix} 0 \\ -x_{le}^2 \omega_{Ty_1} \\ -x_{le}^2 \omega_{Tz_1} \end{bmatrix} \\
& \begin{bmatrix} \frac{dx}{dt} \\ \frac{dy}{dt} \\ \frac{dz}{dt} \end{bmatrix} = \begin{bmatrix} v_x \\ v_y \\ v_z \end{bmatrix} \\
& \begin{bmatrix} \omega_{Tx_1} \\ \omega_{Ty_1} \\ \omega_{Tz_1} \end{bmatrix} = \begin{bmatrix} \dot{\gamma}_T - \dot{\phi}_T \sin \psi_T \\ \dot{\psi}_T \cos \gamma_T + \dot{\phi}_T \cos \psi_T \sin \gamma_T \\ \dot{\phi}_T \cos \psi_T \cos \gamma_T - \dot{\psi}_T \sin \gamma_T \end{bmatrix} \\
& \begin{bmatrix} \omega_{x_1} \\ \omega_{y_1} \\ \omega_{z_1} \end{bmatrix} = \begin{bmatrix} \omega_{Tx_1} \\ \omega_{Ty_1} \\ \omega_{Tz_1} \end{bmatrix} - \mathbf{B}_G \begin{bmatrix} \omega_{ex} \\ \omega_{ey} \\ \omega_{ez} \end{bmatrix} \\
& F_\varphi(\delta_\varphi, x, y, z, \dot{x}, \dot{y}, \dot{z}, \varphi_T, \dot{\phi}_T, \dots) = 0 \\
& F_\psi(\delta_\psi, x, y, z, \dot{x}, \dot{y}, \dot{z}, \psi_T, \dot{\psi}_T, \dots) = 0 \\
& F_\gamma(\delta_\gamma, x, y, z, \dot{x}, \dot{y}, \dot{z}, \gamma_T, \dot{\gamma}_T, \dots) = 0
\end{aligned} \right\}$$

$$\begin{aligned}
\varphi_T &= \varphi + \omega_{ez} t \\
\psi_T &= \psi + \omega_{ey} t \cos \varphi - \omega_{ex} t \sin \varphi \\
\gamma_T &= \gamma + \omega_{ey} t \sin \varphi + \omega_{ex} t \cos \varphi \\
\theta &= \arctan \frac{v_y}{v_x} \\
\sigma &= -\arcsin \frac{v_z}{v} \\
\sin \beta &= \cos(\theta - \varphi) \cos \sigma \sin \psi \cos \gamma + \sin(\varphi - \theta) \cos \sigma \sin \gamma - \sin \sigma \cos \psi \cos \gamma \\
-\sin \alpha \cos \beta &= \cos(\theta - \varphi) \cos \sigma \sin \psi \sin \gamma + \sin(\theta - \varphi) \cos \sigma \cos \gamma - \sin \sigma \cos \psi \sin \gamma \\
\sin \nu &= \frac{1}{\cos \sigma} (\cos \sigma \cos \psi \sin \gamma - \sin \psi \sin \alpha) \\
r &= \sqrt{(x + R_{0x})^2 + (y + R_{0y})^2 + (z + R_{0z})^2} \\
\sin \phi &= \frac{(x + R_{0x}) \omega_{ex} + (y + R_{0y}) \omega_{ey} + (z + R_{0z}) \omega_{ez}}{r \omega_e} \\
R &= \frac{a_e b_e}{\sqrt{a_e^2 \sin^2 \phi + b_e^2 \cos^2 \phi}} \\
h &= r - R \\
v &= \sqrt{v_x^2 + v_y^2 + v_z^2} \\
m &= m_0 - \dot{m} t
\end{aligned}$$

## 2.4.2 地面发射坐标系中的弹道计算方程

在地球模型采用旋转椭球模型，大气模型采用标准大气模型，火箭控制系统采用摇摆发动机作为执行机构，采用瞬时平衡假设下

$$\mathbf{M}_{st} + \mathbf{M}_c = 0 \Rightarrow \begin{cases} M_{z_1}^\alpha \alpha + M_{z_1}^\delta \delta_\varphi = 0 \\ M_{y_1}^\beta \beta + M_{y_1}^\delta \delta_\psi = 0 \\ \delta_\gamma = 0 \end{cases}$$

整理得

$$\begin{cases} \alpha = A_\varphi \left[ (\varphi_{pr} - \omega_{ez} t - \theta) - \frac{k_\varphi}{a_0^\varphi} u_\varphi \right] \\ \beta = A_\psi \left[ (\omega_{ex} \sin \varphi - \omega_{ey} \cos \varphi) t - \sigma - \frac{k_\psi}{a_0^\psi} u_\psi \right] \\ \gamma = -(\omega_{ey} \sin \varphi + \omega_{ex} \cos \varphi) t \end{cases}$$

令滚转角  $\gamma=0$ ，倾侧角  $\nu=0$ ，将侧滑角  $\beta$ 、航迹偏角  $\sigma$ 、偏航角  $\psi$  均视为小量。这些角度的正弦取其角度的弧度值，余弦取为 1，且在等式中出现这些角度值之间的乘积时，作为二阶以上项略去。得到发射坐标系中空间弹道三自由度计算方程为

$$\left. \begin{aligned}
 m \begin{bmatrix} \frac{dv_x}{dt} \\ \frac{dv_y}{dt} \\ \frac{dv_z}{dt} \end{bmatrix} &= \mathbf{G}_B \begin{bmatrix} P \\ Y_{lc} \\ Z_{lc} \end{bmatrix} + \mathbf{G}_V \begin{bmatrix} -C_x q S_M \\ C_y^\alpha q S_M \alpha \\ -C_y^\alpha q S_M \beta \end{bmatrix} + m \frac{g_r'}{r} \begin{bmatrix} x + R_{0x} \\ y + R_{0y} \\ z + R_{0z} \end{bmatrix} + m \frac{g_{\omega e}}{\omega_e} \begin{bmatrix} \omega_{ex} \\ \omega_{ey} \\ \omega_{ez} \end{bmatrix} \\
 &\quad - m \begin{bmatrix} a_{11} & a_{12} & a_{13} \\ a_{21} & a_{22} & a_{23} \\ a_{31} & a_{32} & a_{33} \end{bmatrix} \begin{bmatrix} x + R_{0x} \\ y + R_{0y} \\ z + R_{0z} \end{bmatrix} - m \begin{bmatrix} b_{11} & b_{12} & b_{13} \\ b_{21} & b_{22} & b_{23} \\ b_{31} & b_{32} & b_{33} \end{bmatrix} \begin{bmatrix} \dot{x} \\ \dot{y} \\ \dot{z} \end{bmatrix} \\
 \begin{bmatrix} \frac{dx}{dt} \\ \frac{dy}{dt} \\ \frac{dz}{dt} \end{bmatrix} &= \begin{bmatrix} v_x \\ v_y \\ v_z \end{bmatrix} \\
 \alpha &= A_\varphi \left[ \left( \varphi_{pr} - \omega_{ez} t - \theta \right) - \frac{k_\varphi}{a_0^\varphi} u_\varphi \right] \\
 \beta &= A_\psi \left[ \left( \omega_{ex} \sin \varphi - \omega_{ey} \cos \varphi \right) t - \sigma - \frac{k_\psi}{a_0^\psi} u_\psi \right] \\
 \theta &= \arctan \frac{v_y}{v_x} \\
 \sigma &= -\arcsin \frac{v_z}{v} \\
 \varphi &= \theta + \alpha \\
 \psi &= \sigma + \beta \\
 \delta_\varphi &= a_0^\varphi \left( \varphi + \omega_{ez} t - \varphi_{pr} \right) + k_\varphi u_\varphi \\
 \delta_\psi &= a_0^\psi \left[ \psi + \left( \omega_{ey} \cos \varphi - \omega_{ex} \sin \varphi \right) t \right] + k_\psi u_\psi \\
 r &= \sqrt{\left( x + R_{0x} \right)^2 + \left( y + R_{0y} \right)^2 + \left( z + R_{0z} \right)^2} \\
 \sin \phi &= \frac{\left( x + R_{0x} \right) \omega_{ex} + \left( y + R_{0y} \right) \omega_{ey} + \left( z + R_{0z} \right) \omega_{ez}}{r \omega_e} \\
 R &= \frac{a_e b_e}{\sqrt{a_e^2 \sin^2 \phi + b_e^2 \cos^2 \phi}} \\
 h &= r - R
 \end{aligned} \right\}$$

$$\left. \begin{aligned} v &= \sqrt{v_x^2 + v_y^2 + v_z^2} \\ m &= m_0 - \dot{m}t \end{aligned} \right\}$$

2.5 制导设计

程序角采用抛物线型变化规律：

$$\varphi_{pr} = \left\{ \begin{aligned} &\frac{\pi}{2} && 0 \leq t < t_1 \\ &\frac{\pi}{2} + \left( \frac{\pi}{2} - fig \right) \cdot \left[ \left( \frac{t - t_1}{t_2 - t_1} \right)^2 - 2 \cdot \frac{t - t_1}{t_2 - t_1} \right] && t_1 \leq t < t_2 \\ &fig && t_2 \leq t \leq t_3 \end{aligned} \right.$$

$$fig = \frac{\pi}{60} \quad t_1 = 10s \quad t_2 = 160s \quad t_3 = 186.4s$$

经实际仿真测试，当参数如上设置时，满足实验要求。

三、实验系统

3.1 计算机系统

Windows 10 专业版

Matlab R2023b

3.2 实验对象

选取三级远程火箭为研究对象，火箭外形采用轴对称布局，不安装舵面和翼面，动力操纵元件采用摆动喷管。主要总体参数如下：

总重	35.4 吨
全长	18.26 米
最大直径	1.67 米

各级发动机参数如下：

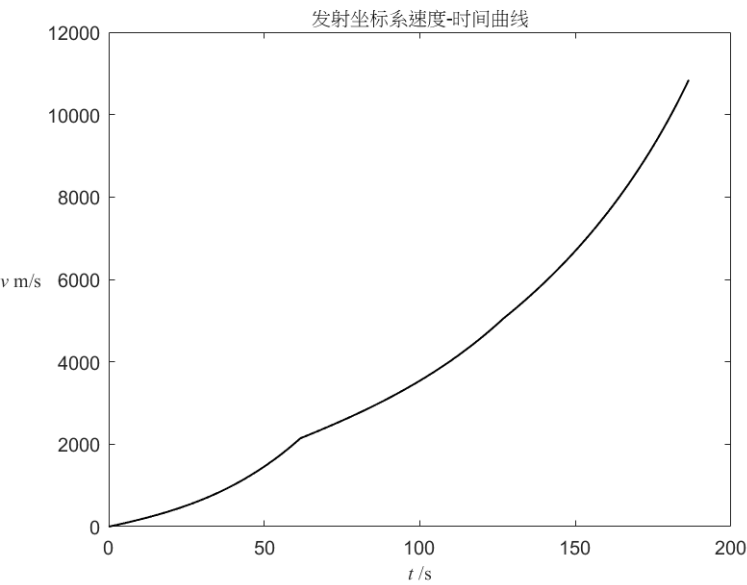
一级发动机	
总重	22.68 吨
推进剂重	20.8 吨

推力	912KN
工作时间	61.6s
二级发动机	
总重	7.05 吨
推进剂重	6.25 吨
推力	270KN
工作时间	65.2s
三级发动机	
总重	3.65 吨
推进剂重	3.32 吨
推力	155KN
工作时间	59.6s

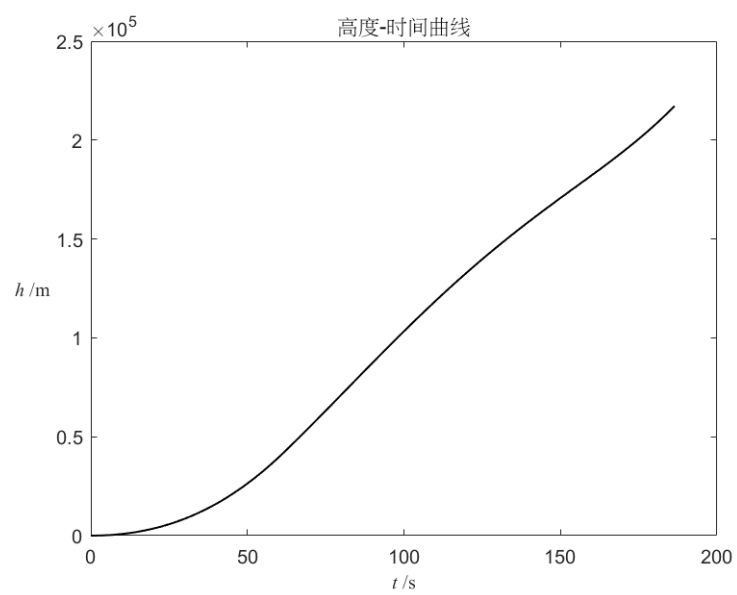
四、实验过程

4.1 实验结果

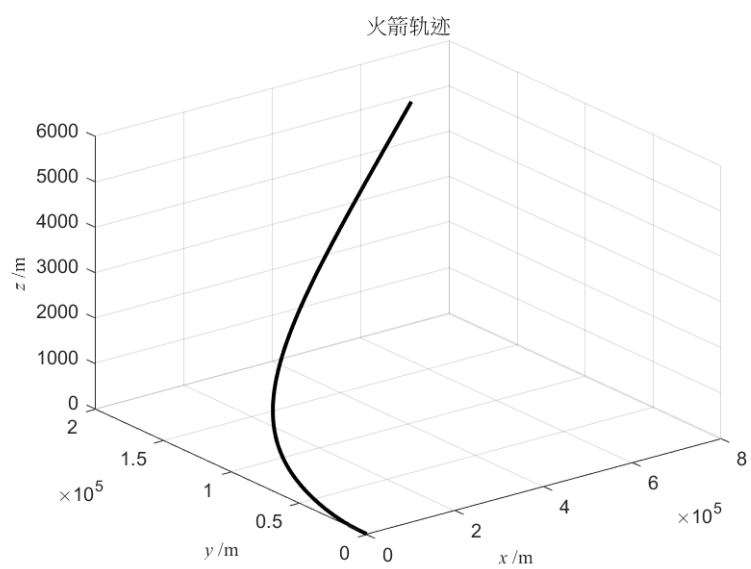
1) 速度—时间曲线



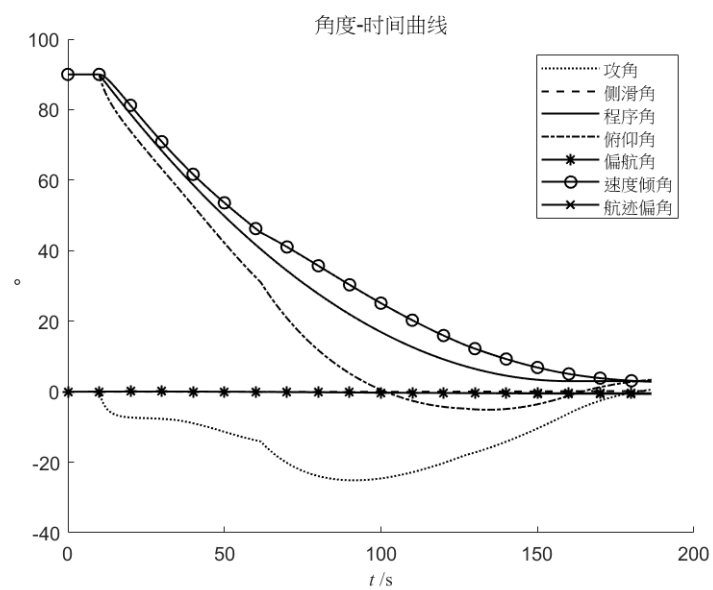
## 2) 高度-时间曲线



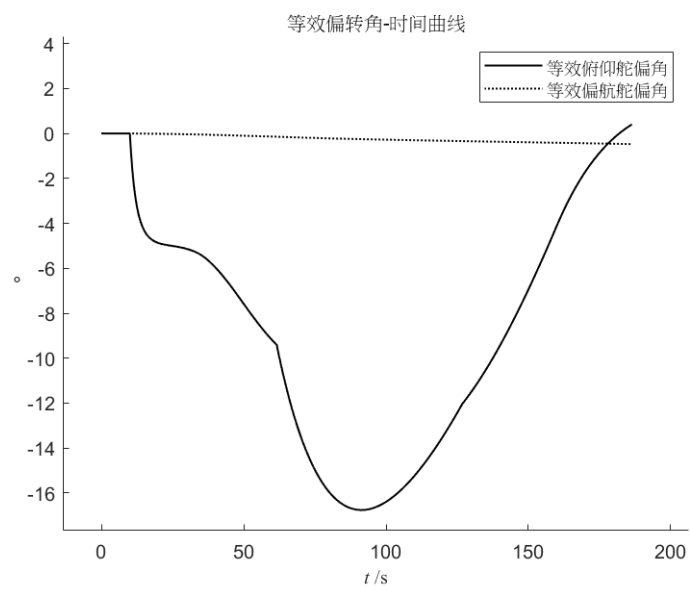
## 3) 火箭轨迹



#### 4) 角度-时间曲线

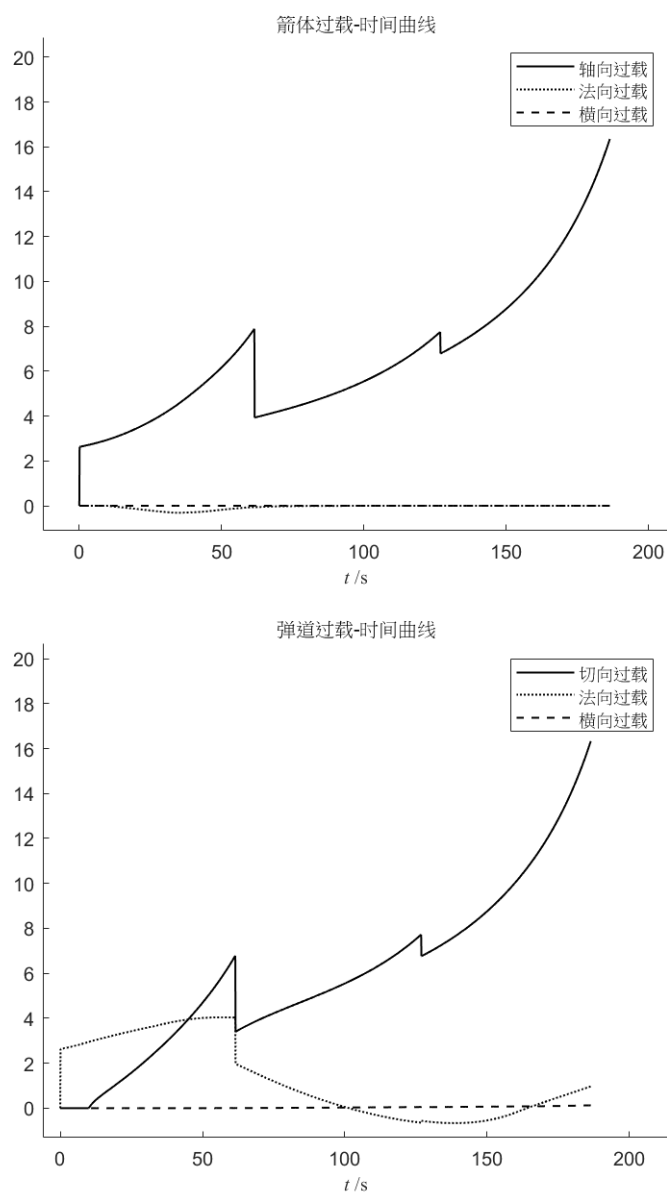


#### 5) 控制角-时间曲线





## 6) 过载-时间曲线



## 4.2 结果分析

### 1. 主动段弹道

实验要求，发动机停机后，要求远程火箭飞行高度不低于 200km，飞行速度不小于 6000m/s，程序模拟完毕后，发射坐标系下火箭最终速度为 10842.7m/s，最终高度为 217203m，由仿真实验结果可知满足实验要求。

---

## 2. 动态特性分析

由各角度变化曲线，可以看出实际俯仰角与程序角跟踪偏差较大，且攻角变化较大。

从过载一时间曲线可以看到，轴向以及切向过载分为三段曲线，对应三级远程火箭在各级发动机启动后的工作状态。对于箭体过载一时间曲线，可以发现轴向过载出前段外一直处于较高水平，表明该火箭按所给方案工作时极易损坏，应当修改制导方法；对于弹道过载一时间曲线，其切向过载依然较大，说明火箭切向加速度较大，其法向过载初期较大，说明该时期火箭正在执行转弯程序。